

## ФИЗИЧЕСКАЯ ХИМИЯ

УДК 577.15.024.У

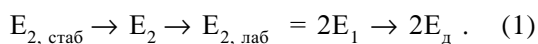
## СТАБИЛИЗАЦИЯ ЩЕЛОЧНОЙ ФОСФАТАЗЫ ИОНАМИ МАГНИЯ

О.М. Полторак, Е.С. Чухрай, И.Ю. Торшин, С. Наккар, М.Н. Веселова

(кафедра физической химии)

**Показано на примере щелочной фосфатазы, иммобилизованной на поверхности силикагеля, модифицированного холестерином, что присутствие иона магния в контактном растворе стабилизирует нативный димер фермента, а разрушение координационной сферы магния и вымывание последнего во внешнюю среду (хранение образца в отсутствие ионов магния) приводит к возникновению лабильного легко диссоциируемого димера, крайне неустойчивого при хранении в среде, лишенной магния.**

Анализ структуры межбелкового контакта щелочной фосфатазы *E. coli* по данным РСА [1] показал соответствие между минимальным числом стадий в кинетическом механизме термоинактивации и числом контактных участков между глобулами димера, равным трем [2]. В этой работе показано, что третичная структура фермента стабилизована межбелковым взаимодействием глобул димера, выделены два узловых аминокислотных остатка Glu 410 и Gln 416, оказывающие, вероятно, наибольшее влияние на термостабильность. Разрушение всех связей любого из этих аминокислотных остатков приводит к сильному изменению конформации петли 402-417, несущей каталитически активный His 412, и к полной потере каталитической активности фермента. Таким образом, работа [2] предлагает структурное обоснование потери катализитической активности в результате диссоциации димера щелочной фосфатазы на протомеры согласно (1)



В схеме (1) последовательно показаны нативный стабильный димер, стабилизированный тремя межсубъединичными контактами, интермедиат, стабилизированный двумя контактами, лабильный димер, стабилизированный лишь одним контактом, влияющим на положение His 412, неактивный протомер и денатурированный протомер;  $k_1$ ,  $k_{-1}$  и  $k_d$  – соответствующие константы скорости диссоциации и ассоциации лабильного димера и денатурации протомера.

Согласно работе [3], каждая глобула имеет клиновидную форму. Две из наклонных поверхностей – плоскости межбелкового контакта I и II (вторая

плоскость, параллельна большой  $\beta$ -структуре, содержит спираль 333-359 и петлю-спираль 288-298-312. Через линию двугранного угла проходит плоскость петли 1-29 (плоскость III межбелкового контакта). Расстояние между C- и N-концами полипептидной цепи составляет 30 Å. Оба конца расположены в передней части глобулы, причем C-конец расположен со стороны межбелкового контакта. Ближе к основанию клина в задней его части расположена малая  $\beta$ -структура, в передней – отрезки полипептидной цепи 234-264 и 160-200. Большая  $\beta$ -структура перпендикулярна плоскости межбелкового контакта. Основания «клиньев» глобул направлены в противоположные стороны.

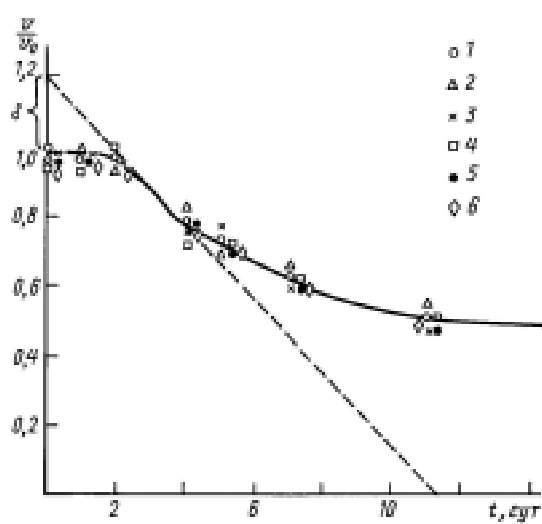


Рис. 1. Кинетика термоинактивации щелочной фосфатазы, адсорбированной на  $\text{SiO}_2$ -хол., при  $23^\circ$  в 0.05 М трис-буфере в присутствии 0.03М  $\text{MgCl}_2$  при разных значениях рН: 1 – 7.2, 2 – 7.6, 3 – 8.0, 4 – 8.7, 5 – 9.2, 6 – 9.5 ( $v_0 = 25.5 \cdot 10^{-4}$  ОЕ/мин·мкг белка)

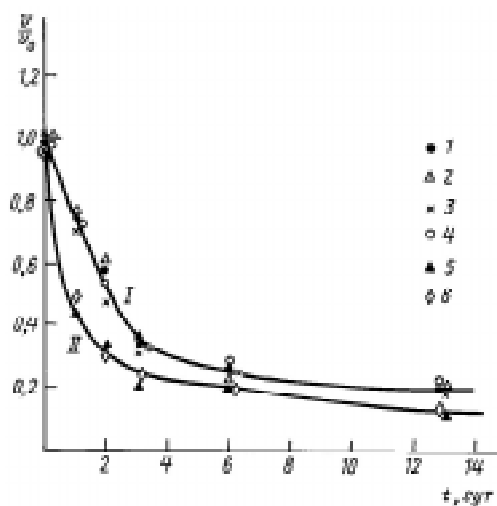


Рис. 2. Кинетика термоинактивации иммобилизованной щелочной фосфатазы в отсутствие ионов магния при рН: 1 – 7.2, 2 – 7.6, 3 – 8.0, 4 – 8.7, 5 – 9.2, 6 – 9.5 ( $v_0 = 25.5 \cdot 10^{-4}$  ОЕ/мин·мкг белка)

В настоящей работе приведены данные термоинактивации щелочной фосфатазы, адсорбированной на силикагеле, модифицированном холестерином. Методы приготовления носителя, методы адсорбции и определения активности приведены в работе [4]. Для проявления максимальной активности щелочной фосфатазы, приготовленной из кишечника цыпленка (фирма «Reanal»), необходимо присутствие в активном центре фермента помимо двух каталитически активных атомов цинка ионов магния [1]. Прочность связывания магния в активном центре различна для ферментов, полученных из различных источников. В активном центре магний находится на расстоянии 5 и 7 Å соответственно от первого и второго атомов цинка. Он не взаимодействует непосредственно с субстратом. Роль магния в активном центре щелочной фосфатазы остается неясной, хотя в литературе этому вопросу уделено много внимания. Важная информация получена в работе [5], где проведено сравнение аминокислотных последовательностей в области активного центра с последующим сайт-направленным мутагенезом фермента из *E. coli*. Ясно одно – ионы магния в активном центре щелочной фосфатазы бактериального происхождения связаны прочнее, чем в щелочной фосфатазе животного происхождения. Щелочная фосфатаза животного происхождения является удобным объектом изучения стабилизирующей роли магния, поскольку магний легко и обратимо связывается в ее активном центре. На рис. 1–3 представлены кинетические кривые термоинактивации фермента при хранении в 0.05М трис-HCl буферном растворе в присут-

ствии (рис. 1) и в отсутствие (рис. 2, 3) ионов магния в контактном растворе. Иммобилизованная щелочная фосфатаза в этом эксперименте была удобным объектом исследования, поскольку в таком виде (монаслой фермента на гидрофобном носителе) она устойчива к бактериальному заражению. Эксперименты можно проводить на одном и том же образце длительное время при 23°. Опыт длился 40 дней, однако в присутствии ионов магния фермент потерял чуть более 50% активности, тогда как в отсутствие ионов магния в контактном растворе активность упала более чем на 80%.

На кинетических кривых рис. 1, полученных в присутствии 0.03М MgCl<sub>2</sub>, имеет место индукционный период, как следствие неизменности активности фермента в течение первых двух суток хранения. Индукционный период отвечает стадии скрытых изменений – плавлению конформационного замка. Использование соотношения (2)

$$n = (0.13 + \delta) / (0.13 - 0.05\delta) \quad (2)$$

позволяет определить число минимальных стадий в этом процессе. Определение безразмерной величины δ показано на рис. 1. Кинетические кривые, полученные в интервале pH 7.2 – 9.5, ложатся на одну кривую. Величина δ = 0.21, что соответствует  $n \approx 3$ . Это согласуется со схемой (1), предполагающей три активных димерных интермедиата, отличающихся стабильностью и образованных с помощью одного, двух и трех межглобулярных контактов. Константа скорости локальной диссоциации иммобилизованного димера щелочной фосфатазы  $k_1$  в изученном интервале концентраций не зависит от pH и равна  $1.2 \cdot 10^{-6}$  с<sup>-1</sup>.

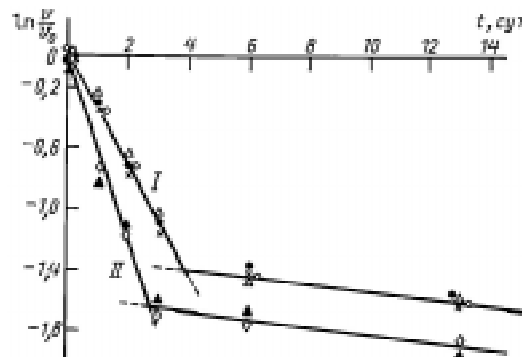
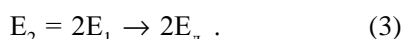


Рис. 3. Данные рис. 2, представленные в полулогарифмических координатах

На рис. 2 представлены две кинетические кривые термоинактивации щелочной фосфатазы в отсутствие ионов магния: I – в интервале pH 7.2 – 8.7 и II – при pH 9.2 и 9.5. На рис. 3 данные представлены в полулогарифмических координатах. На кинетических кривых отсутствует индукционный период. Процесс обнаруживает зависимость от pH, начиная с  $pK \approx 9$ , что соответствует Gln ( $pK = 9.13$ ). Эти данные согласуются с результатами структурного анализа [2], где выделено два узловых аминокислотных остатка Glu 410 и Gln 416, оказывающих наибольшее влияние на термостабильность. На рис. 3 показано, что кинетика термоинактивации двустадийна и соответствует кинетическому механизму двустадийной диссоциативной термоинактивации активного лабильного димера (3)



Отсутствие на кинетических кривых индукционного периода означает, что в системе нет стабильного димера, стабилизированного тремя межбелковыми контактами, а присутствует лишь лабильный димер с одним межбелковым контактом, который легко и обратимо диссоциирует на неактивные субъединицы.

Поскольку в эксперименте использована адсорбированная щелочная фосфатаза, то речь идет о локальной диссоциации. Соответствующие данные представлены в таблице. Значения кинетических констант скорости локальной диссоциации показывают, что последняя увеличивается более чем в 1.5 раза при  $pH > 9$  и превышает соответствующую величину для фермента в присутствии ионов магния в 3.5 раза (для pH 7.2 – 8.7) и в 5.5 раз (для pH 9.2 – 9.5).

Таким образом, на основе кинетического анализа данных по термоинактивации иммобилизованной щелочной фосфатазы в присутствии и в отсутствие ионов магния в контактном растворе можно сделать вывод о стабилизирующей роли магния. Атом магния координирован тремя группами Asp 51, Glu 322 и Thr 155. Из них только Asp 51 находится вблизи межбелкового контакта (рис. 4), образуемого аминокислотами спирали 54-66, Asp 55, Thr 59, Arg 62 с Gln 416 соседней глобулой. Отрезок Asp 51-Asp 55,

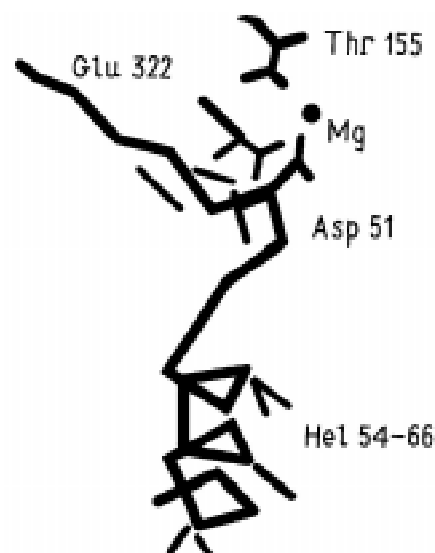


Рис. 4. Координация атома магния в молекуле щелочной фосфатазы. Чертежками показаны водородные связи. Водородные связи Hel 54-66 относятся к межбелковому контакту

примерно перпендикулярный межбелковому контакту, имеет водородные связи с собственной глобулой только на концах (взаимодействие между атомами N и O главной цепи), и его положение относительно глобулы поддерживается, вероятно, атомом магния. По всей видимости, при отсутствии магния спираль 54-66, параллельная плоскости контакта, смещается относительно собственной глобулы под действием соседней, что и может приводить к медленному разрушению контакта глобул.

Настоящая работа поддержана грантом РФФИ 96-03-32713а и грантом ИНТАС 93-2577 (PC-5224), за что авторы выражают свою признательность РФФИ и ИНТАС.

#### СПИСОК ЛИТЕРАТУРЫ

1. Kim E.E., Wyckoff W.W. // J. Mol. Biol. 1991. **218**. P. 449.
2. Полторак О.М., Торшин И.Ю., Чухрай Е.С. // Вестн. Моск. ун-та. Сер. 2. Химия. 1996. **37**. С. 431.
3. Торшин И.Ю., Полторак О.М., Чухрай Е.С. // Вестн. Моск. ун-та. Сер. 2. Химия. 1996. **37**. С. 335.
4. Наккар С., Чухрай Е.С., Веселова М.Н., Полторак О.М. // Вестн. Моск. ун-та. Сер. 2. Химия. 1989. **30**. С. 450.
5. Janaway C.M.L., Xu Xu, Murphy J.E., Caidaroglou A., Kantrowitz E.R. // Biochemistry. 1993. **32**. P. 1601.

Поступила в редакцию 05.11.96

#### Кинетические параметры локальной диссоциации димера щелочной фосфатазы на $\text{SiO}_2$ в отсутствие ионов магния

Константа	Интервалы pH	
	7.2–8.7 (I)	9.2–9.5 (II)
$K_1 \cdot 10^6, \text{с}^{-1}$	4.3	6.9
$K_d \cdot 10^7, \text{с}^{-1}$	2.9	3.1